УДК 553.411'3/'9.001.18(470.324)

ЗАКОНОМЕРНОСТИ РАЗМЕЩЕНИЯ, СОСТАВ И КРИТЕРИИ ПРОГНОЗИРОВАНИЯ И ПОИСКОВ ЗОЛОТО-ПЛАТИНОМЕТАЛЛЬНЫХ РУД ЧЕРНОСЛАНЦЕВОГО ТИПА В ПРЕДЕЛАХ ВОРОНЕЖСКОГО КРИСТАЛЛИЧЕСКОГО МАССИВА

Н.М. Чернышов, М.Н. Чернышова

Воронежский государственный университет 394006, Воронеж, Университетская пл., 1 E-mail: petrology@geol.vsu.ru
Поступила в редакцию 16 июня 2008 г.

Приведена систематика и структурно-вещественная характеристика благороднометалльного оруденения, ассоциирующего с разновозрастными углеродистыми толщами и метасоматитами Воронежского кристаллического массива (ВКМ). Выделены граничные признаки и критерии регионального и локального прогнозирования наиболее важных в промышленном отношении тимского, кшенского и старооскольского типов, характеризующихся многоуровневым размещением и сложным, многокомпонентным полиминеральным составом руд (свыше 60 рудных минералов, в том числе более 20 собственных минеральных фаз минералов платиновой группы (МПГ) и Аи. Приведены основные рудно-формационные параметры (геолого-тектонические, структурно-вещественные, метаморфические и гидротермальнометасоматические, рудолокализующие, рудно-минералого-геохимические и др.), определяющие выбор и оценку площадей развития углеродосодержащих толщ и их метасоматитов на конкретные типы золото-платинометалльного оруденения.

Ключевые слова: Воронежский кристаллический массив, золото-платинометалльное оруденение, черносланцевый тип, систематика, закономерности размещения, минералогия, критерии прогнозирования.

Основным источником платинодобычи в России ныне являются комплексные сульфидные платиноидно-медно-никелевые месторождения и, отчасти, россыпи, ресурсы и запасы которых сравнительно ограничены. Вместе с тем, многообразие сфер использования и резкое возрастание потребления платиноидов и золота настоятельно требует поисков новых, нетрадиционных типов месторождений. Среди новых крупнообъёмных источников платиноидов и золота ныне особое внимание придается металлоносным (Mo, W, Au, U, P, V, Ni, Zn, Си, Ад, редкие земли) высокоуглеродистым стратифицированным толщам и их метасоматитам, выступающим в качестве уникальных аккумуляторов благородных металлов и продуцентов россыпей. Исключительно широкое развитие высокоуглеродистых толщ, значительная протяженность (сотнипервые тысячи километров), многоуровневый стратифицированный характер их размещения в геологических разрезах Земли, высокие концентрации благородных металлов выдвигают полифациальные и полиформационные по своей природе высокоуглеродистые платиноносные образования в качестве глобального источника прироста ресурсов, запасов и золото-платинодобычи XXI столетия [Созинов и др., 1988; Савицкий и др., 1994; Чернышов, 1999, 2004, 2007; Додин и др., 2000, 2007; Золоев и др., 2001; Буряк и др., 2002].

1. ТИПЫ, ЗАКОНОМЕРНОСТИ РАЗМЕЩЕНИЯ И СОСТАВ ЗОЛОТО-ПЛАТИНОМЕТАЛЛЬНОГО ОРУДЕНЕНИЯ ЧЕРНОСЛАНЦЕВОГО ТИПА

В пределах Воронежского кристаллического массива комплексное золото-платинометалльное оруденение, ассоциирующее со стратифицированными высокоуглеродистыми образованиями и их метасоматитами, установлено [Чернышов, 1996, 2004, 2007] во всех структурно-вещественных комплексах (СВК), сформировавшихся в условиях: а) раннеархейской нуклеократонизации (графитизированные и сульфидизированные плагиогнейсы обоянской серии; Au - 1,97 г/т, Pt - до 5,1 г/т); б) позднеархейского рифтогенеза (зеленокаменные пояса в объеме михайловской серии с золотопалладийсодержащими колчеданными рудами; Au - 1,2 г/т, МПГ – до 1,0 г/т); в) субдукции (золотосодержащие сланцы Лосевской шовной зоны; $Au - 1.7 \Gamma/T$, $M\Pi\Gamma - 1.3 \Gamma/T$); г) формирования раннепротерозойских рифтогенных структур КМА с золото (Au – до 3,4 г/т)-платиноидными (МПГ – до 5,4 г/т) сульфидизированными сланцами и золото (Au - до 7,0 г/т, иногда до 21 г/т) и палладийсодержащими (Pd – до 1,2 г/т; Pt – до 0,30 г/т) железистыми кварцитами курской серии, углеродистыми вулканогенно-осадочными сланцами и их метасоматитами оскольской серии (МПГ – до 1,8–2,1 г/т,

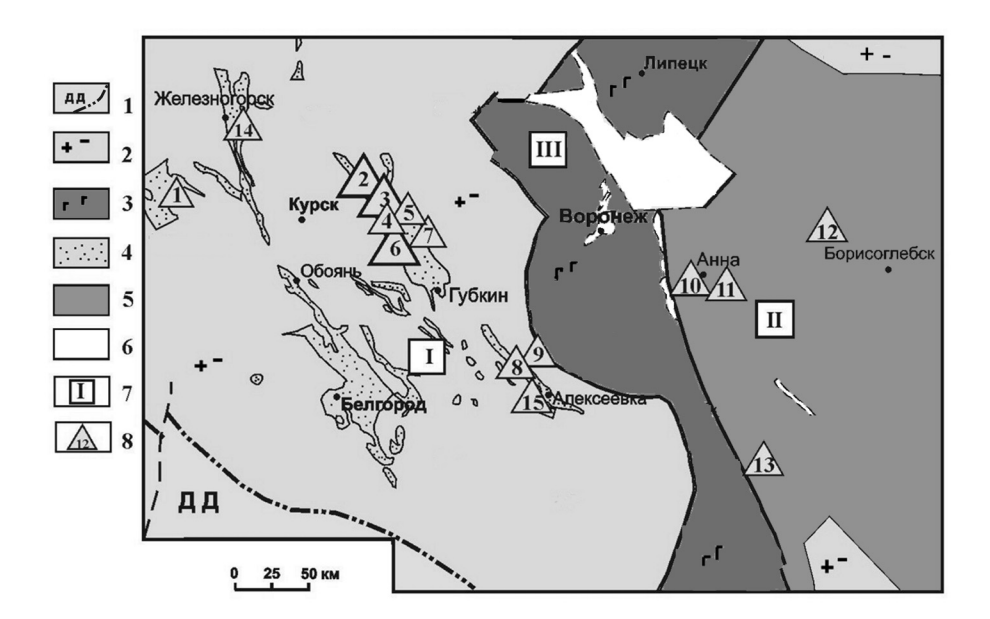


Рис. 1. Схема размещения золото-платиноносных рудопроявлений и потенциальных рудоносных объектов в черносланцевых толщах и их метасоматитах Воронежского кристаллического массива (ВКМ).

1 — Границы ВКМ и Днепрово-Донецкого авлакогена (ДД); 2 — Структурно-вещественные комплексы (СВК) архейского основания; 3 — СВК Лосевской шовной зоны; 4—6 — раннекарельские вулканогенно-терригенные комплексы: 4 — этапа рифтогенеза, 5 — эпикратонного прогибания пассивной континентальной окраины, 6 — вулканогенно-осадочные и интрузивные комплексы тафрогенного и раннеплатформенного этапов; 7 — мегаблоки ВКМ: I — КМА, II — Хоперский, III — Лосевская шовная зона; 8 — месторождения, рудопроявления и потенциально рудоносные участки (1 — Студеновский; 2 — Сергиевский; 3 — Луневский; 4 — Тимской; 5 — Луговской; 6 — Погоженский; 7 — Кшенский; 8 — Волотовский; 9 — Вост. Волотовский; 10 — Рябиновско-Большемартыновский; 11 — Анненский; 12 — Троицкий, 13 — Сухой Яр; 14 — Железногорский; 15 — Старооскольский).

Au - 14,6 г/т, иногда до 20,2 г/т), графитизированными гнейсами и метасоматитами (МПГ – до 0,2 г/т, Au - до 1,7 г/т) воронцовской серии Хоперского мегаблока (рис. 1, табл.1).

Наиболее высокие концентрации благородных металлов связаны с высокоуглеродистытерригенно-осадочными и вулканогенноосадочными породными ассоциациями оскольской и курской серий раннепротерозойских интракратонных складчато-глыбовых структур этапа внутриконтинентального рифтогенеза, спрединга и автономного развития континентов, субдукции и коллизии (тимской, старооскольский, кшенский типы (табл. 1)). Пространственно они сопряжены с позднеархейскими зеленокаменными поясами. Характерными особенностями золотоплатиноносных структурно-формационных зон являются [Чернышов, 2004, 2007]: а) полицикличность и многостадийность развития с резким преобладанием терригенно-осадочных (в том числе мощных железорудных) отложений на ранних стадиях формирования и возрастающей ролью углеродистых вулканогенно-осадочных и вулканических образований (оскольская серия) – на поздних; б) широкое развитие в разной мере дифференцированных вулкано-плутонических ассоциаций с пикрит-толеит-базальтовыми и базальтандезит-дацитовыми вулканитами (оскольская серия) и магматитами ультрамафит-мафитового

(золотухинский и волотовский комплексы), габбродиорит-гранодиоритового (стойло-николаевский интрузивно-дайковый) и гранитоидного (малиновский) состава с отчетливой металлогенической специализацией на Cu, Pb, Zn, Au, Ag, МПГ, Р и др.; в) высокая степень интенсивности проявления складчатости и взбросо-надвиговых перемещений, сложный структурный рисунок разломных нарушений различных порядков с образованием зон объемного катаклаза, выступающих в качестве рудоконтролирующих элементов рудообразующих систем; г) низкоградиентный тип метаморфизма в условиях эпидот-амфиболитовой и, в большей мере, зеленосланцевой фации, способствующий перераспределению и накоплению рудного вещества и широкому развитию разнообразных по составу метасоматитов, сопровождающихся комплексным золото-платинометалльным оруденением тимского, кшенского и старооскольского типов, образующих, по существу, единую длительно формирующуюся черносланцевую рудную формацию.

Золото-платинометалльное оруденение **тимско- го типа** в раннепротерозойских стратифицировнных черносланцевых структурно-вещественных комплексах, наиболее полно проявившееся в крупной (протяженность 130 км при ширине 30–50 км) Тим-Ястребовской структуре КМА (рис. 2), характеризуется [Чернышов, 1996, 2004, 2007]: а) локализацией в нижней углеродистой терригенно-

Таблица 1. Типы золото-платинометалльного оруденения в углеродистых формациях и их место среди раннедокембрийских структурно-вещественных комплексов различных геодинамических режимов ВКМ (Курско-Воронежский регион)

	Рудовмещающие формации (серии, комплексы)	Генетические типы платиноидных месторождений, проявлений и потенциальных объектов				
Типы структур		Типы	Установлен- ные		Прогнозируе- мые	
			Круп- ные	Сред- ние и мелкие	Круп- ные	Сред- ние и мелкие
	Раннеплатф	орменный этап			_	
Рифты и реактивизированные разломы внутриплитного развития	Трапповая (троктолит-габбро-долеритовые дифференцированные плутоны смородинского и новогольского	3		+ +	+	+
	комплексов)			+		
	Тафрог	енный этап	<u> </u>			I
Реактивизированные разломы, наложенные прогибы аллохтонного типа в зонах сочленения разнотипных структур	Кольцевые габбро-норит- кварцмонцонит-гранитные плутоны (ольховский комплекс)	Малосульфидный платиноме- талльный				+
	Габбро-верлитовая (шукавский ком- плекс)	Сульфидный платиноидно- медно-никелевый		+		+
	Углеродистая вулканогенно- осадочная, конгломераты зон несо- гласия (воронежская свита)	Платиноидно-золоторудный (воронежский)				+
Этап р	ифтогенеза, спрединга и автономног		ции и н	оллизи	И	
	Высокоуглеродистые вулканогенно- осадочные сланцы и их метасомати-	2. Платиноидно-золоторудный (кшенский) 1. Золото-платино-металлный		+	+	
Курский мегаблок	ты (оскольская серия) Железистые кварциты (курская се-	(тимской) Золото-платинометалльный	+	+	+	
	рия) и внутрирудные сланцы	(курский и староосколький) Золото-уран-платиносо-	+	+	+	
	Конгломераты зон несогласий	держащий (стойленский)		+		+
Хоперский мегаблок	Высокоуглеродистые сланцы и эруптивные брекчии, графитизированные гнейсы (воронцовская серия)	Палладиевый-золото-ртутно- серебряный (троицкий) Платиноидно-золоторудный (воронцовский)		+		+
	Ортопироксенит-норит-диоритовая (еланский комплекс)	Сульфидный платиноидно-медисто-никелевый		+	+	
		4. Платиносодержащий титаномагнетитовый 3. Малосульфидный платиноме-		+		+
	Дунит-перидотит-пироксенит-норит- габбровая (мамонский комплекс)	талльный 2. Сульфидный платиноидно- медно-никелевый		+	+	+
		1. Платиносодержащий хромитовый		+		+
		тогенез (поздний архей)				
Sour i nudraranasa	Осадочные и вулканогенно-	Колчеданный золото-		+		+
Зоны рифтогенеза и коллизии («верхние» зеленокаменные пояса)	осадочные с колчеданным оруденением (александровская свита)	паллаоиисооержащии (авильский)		+		+
	Коматиит-базальтовая и дунит- перидотитовая (михайловская серия и железногорский комплекс)	щии медисто-никелевыи		+		+
<u> </u>	Этап формирования р	аннеархейской протокоры				
Ареальные вулкано-плутонические (нуклеократонные)	Углеродистая (графитизированная) вулканогенно-осадочная	Платиносодержащие графити- зированные гнейсы (обоянский)		+		+
структуры («ниж- ние» зеленокамен-	Перидотит-пироксенит-габброно- рит-анортозитовая (бесединский комплекс)	Сульфидный платиносодержа- щий медно-никелевый		+		+

Примечание: курсивом выделены типы благороднометалльного оруденения, ассоциирующего со стратифицированными комплексами и метасоматитами различных геодинамических режимов.

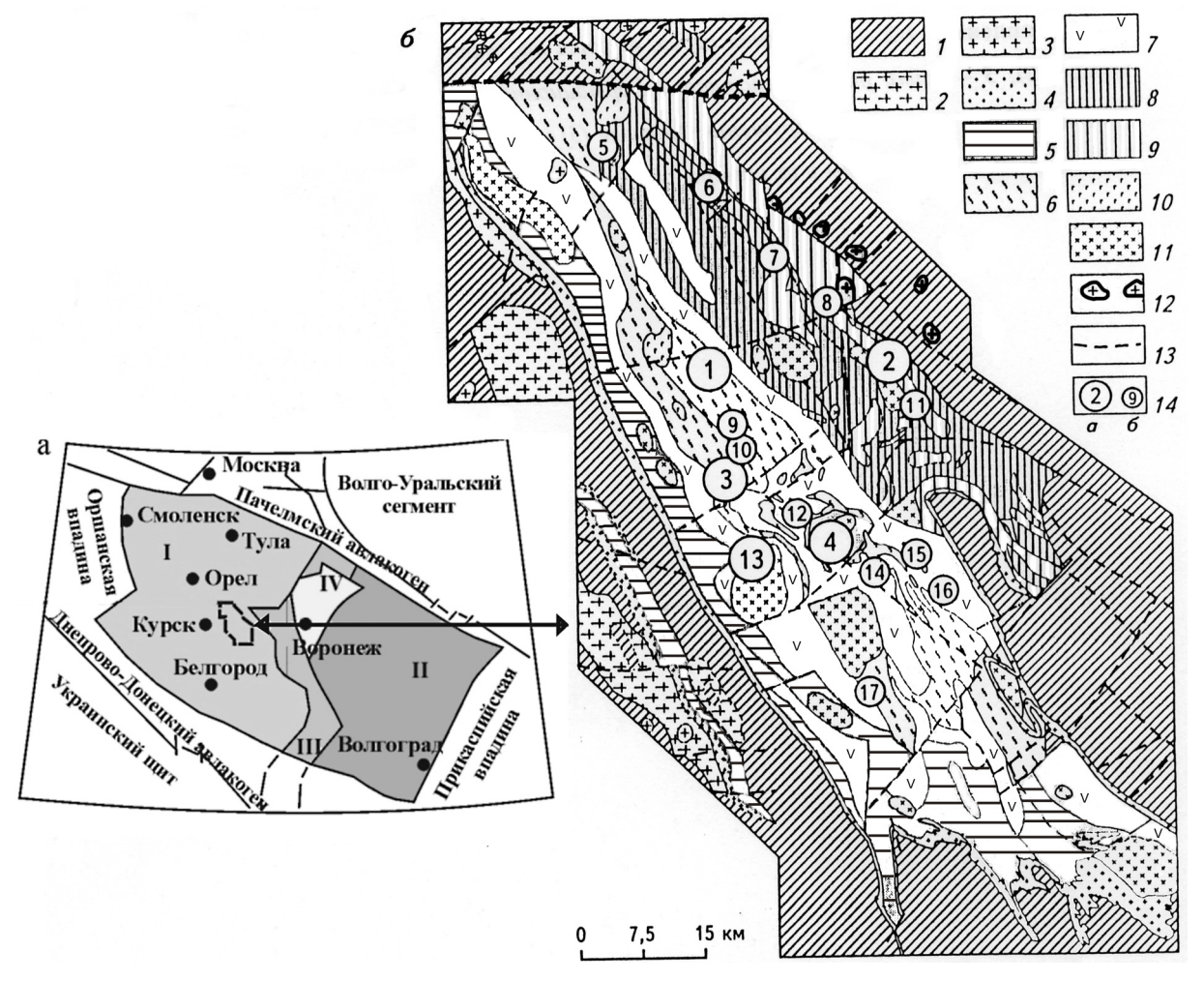


Рис. 2. Схематическая геологическая карта Тим-Ястребовской золото-платиноносной структуры (б), ее местоположение на ВКМ (а).

а: I – мегаблок КМА, II – Хоперский мегаблок, III – Лосевская шовная зона, IV – Ольховско-Шукавская грабен-синклиналь, Многоугольником обозначено местоположение Тим-Ястребовской структуры.

6:1-обоянский плутоно-метаморфический комплекс (AR_1 оb), плагиогнейсы, прослои и линзы амфиболитов, прослои кварцитов; 2 – салтыковский комплекс мигматит-плагиогранитовый (AR_2 sl), плагиограниты, тоналиты, гранодиориты; 3 – атамановский комплекс умеренно-щелочных гранитов (AR2a), граниты умеренно щелочные плагиоклаз-микроклиновые; 4-12 - раннекарельские образования: 4 - курская серия (K₁ks), кварцито-песчаники, сланцы, железистые кварциты; 5-9 – оскольская серия: 5 – роговская свита (K_1 rg), карбонатные сланцы, кварц-биотитовые сланцы, доломиты, известняки; 6-9 – тимская свита: 6-7 – нижняя тимская подсвита (K_1 tm $_1$): 6 – существенно терригенная: углеродистые сланцы, метапесчаники, метаалевролиты; 7 – вулканогенно-терригенная: ортосланцы основного и среднего состава, амфиболиты, углеродистые сланцы; 8-9 - верхняя тимская подсвита (K₁tm₂): 8 - нижняя терригенно-углеродистая толща (метапесчаники, сланцы, карбонатные сланцы, амфиболиты); 9 – верхняя вулканогенная толща (ортосланцы ультраосновного, основного и, реже, среднего состава, амфиболиты, метапесчаники); 10 – золотухинский перидотит-пироксенит-габброноритовый комплекс (K₁z); 11 – стойло-николаевский диорит-гранодиоритовый комплекс (K₁sn); 12 – малиновский гранитный комплекс (K₁m); 13 – тектонические нарушения; 14 – разномасштабные по ресурсам (а, б) рудопроявления: 1 – Луневское, 2 – Кшенское, 3 – Погоженское, 4 – Прилепское, 5 – Сергиевское, 6 – Верхне-Березовское, 7 – Луговское, 8 – Панское-I, 9 - Северо-Тимское, 10 - Тимское, 11 - Рогозецкое, 12 - Южно-Погоженское, 13 - Роговское, 14 - Зареченское, 15 - Петровское, 16 – Безленкинское, 17 – Крутоверховское.

осадочный части разреза тимской свиты оскольской стой (<0,06 мм) сульфидно-углеродистой фракции, Ті, V, P и др.) элементов, преимущественно базаль- металлами сульфидов и их аналогов. тоидным типом распределения МПГ ($Pd \ge Pt > Rh >$

серии; б) многоуровневым (3-7 горизонтов мощно- в которой их концентрации многократно превышастью от первых метров до 25–30 м) размещением, ют содержания в исходных (рудовмещающих) поотчетливой корреляционной связью МПГ и Au c C, родах; г) наличием собственных минеральных фаз S и рядом петрогенных и малых (Ni, Cu, Co, Cr, Zn, Au и МПГ и значительной обогащенностью этими

В качестве типовых структурно-вещественных и Ru > Ir ≥ Os); в) высокой степенью концентрирова- рудно-формационных признаков кшенского типа ния благородных металлов в наиболее тонкозерни- золото-платиносодержащего оруденения, выступа-

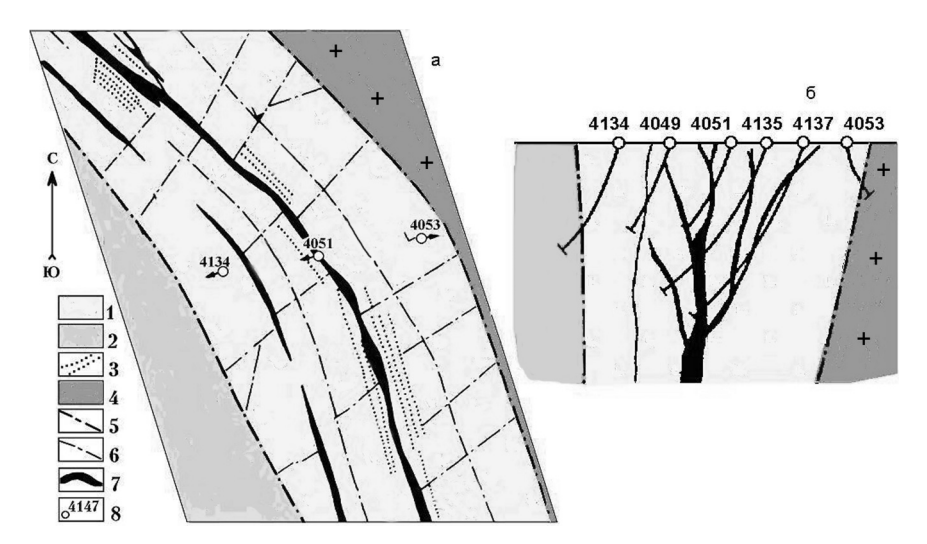


Рис. 3. Схема геологического строения (а) и геологический разрез (б) Кшенского рудопроявления. 1,2 – оскольская серия, верхняя подсвита тимской свиты: верхняя толща (1), нижняя толща (2); 3 – дайки разного состава и формационной принадлежности; 4 – мигматиты, анатектит-граниты; 5,6 – разрывные нарушения: главные (5) и второстепенные (6); 7 – золото-платиносодержащие рудные тела; 8 – скважины и их номера.

ют [Чернышов, 2004, 2007]: а) отчетливая приуроченность рудных тел к субсогласной с общим планом Тим-Ястребовской структуры протяженной (свыше 100 км при ширине 2–8 км) Воскресновской рудоносной зоне рассланцованных, катаклазированных, миланитизированных и различных по степени интенсивности метаморфически и метасоматически преобразованных основных и ультраосновных вулканитов и углеродсодержащих вулканогенноосадочных пород верхней части разреза тимской свиты (рис. 3); б) высокая степень насыщенности рудоносной зоны интрузивами и дайками различного возраста, состава и формационно-генетической принадлежности [Чернышова, Молотков, 2006]; в) сложные сочетания реликтовых и многочисленных наложенных минеральных парагенезов рудовмещающих пород, связанных с лиственитизацией, березитизацией, турмалинизацией, биотитизацией, окварцеванием, развитием кварц-полевошпатовых и других разновидностей метасоматитов, отражающих многоэтапность и полифациальность метаморфических и гидротермально-метасоматических процессов формирования золото-платиносодержащей рудообразующей системы; г) сложное строение рудных тел и их вероятное многоярусное размещение, особенно отчётливо проявляющееся, благодаря геохимическим ореолам золота (рис. 4): д) отчетливая пространственно-временная связь золото-платиносодержащих руд с зонами повышенной сульфидной минерализации, определяющая принадлежность оруденения к сульфидно-вкрапленному типу с ведущей ролью пирит-пирротинового и арсенопирит-пиритового минеральных паргенезисов при крайне ограниченном проявлении жильного сульфидно (пирит)-кварцевого типа; д) резкое преобладание Au (230-6500 мг/т, иногда до 20 100 мг/т) над $Pt(60-680 \text{ мг/т}, \text{ в редких случаях} - \text{до } 18\,000 \text{ мг/т})$

и Pd (50–100 мг/т, иногда до 400 мг/т); е) значительная аналогия по геолого-структурному положению, характеру рудовмещающих пород, условиям локализации бескварцевого сульфидно-вкрапленного типа оруденения с рядом известных крупных месторождений (Калгурли в Австралии, Гейта в Танзании, Вендерер в Южной Родезии [Чернышов, 2004]).

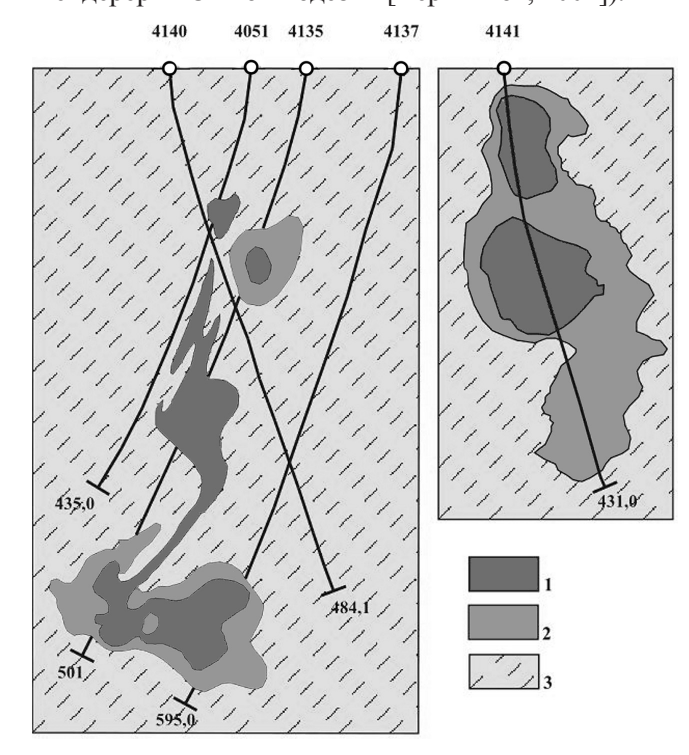


Рис. 4. Морфология комплексного геохимического ореола золота по скважинам 4051, 4135, 4137 и 4141 Кшенского рудопроявления.

1 – контур объекта с повышенным (>1 г/т) содержанием золота, 2 – контур объекта с бедным содержанием золота, 3 – вмещающие породы (по данным Г.Ф. Рожковой и Э.Э. Асадулиной; ГГП «Центргеология», 1991).

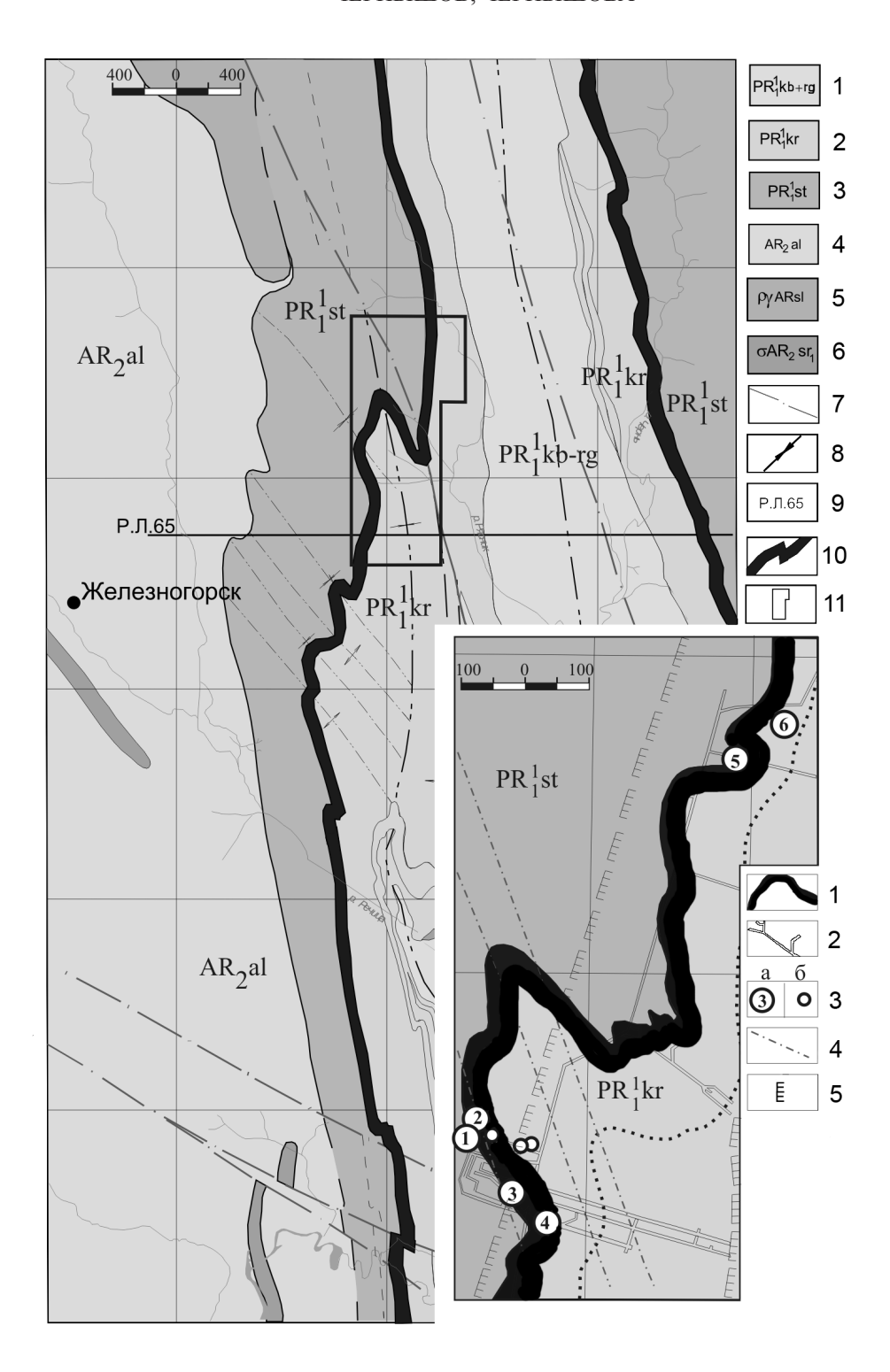


Рис. 5. Положение золото-платиноносной зоны стратиформного типа Михайловского рудного узла и схематический план западного фланга Михайловского месторождения с результатами опробования горных выработок на благороднометалльное оруденение.

Карта-врезка: 1 – геологические границы карбонатно-магнетитовых кварцитов; 2 – подземные горные выработки; 3 – благороднометалльные проявления (г/т): a) 1 – Au = 0,84, Pd = 0,77, Pt = 0,13; 2 – Au = 0,50, Pd = 0,63, Pt = 0,12; 3 – Au = 2,87, Pd = 0,58, Pt = 0,30; 4 – Au = 4,83, Pd = 0,60, Pt = 0,21; 5 – Au = 2,99, Pd = 0,65; 6 – Au = 0,86, Pd = 0,61; 6) - Au 2 – 4 – 4 разрывные нарушения; 4 – 4 смнтуры карьера.

^{1 –} курбакинская и роговская свиты; 2 – коробковская свита; 3 – стойленская свита; 4 – верхний архей, александровская свита; 5–6 – магматические комплексы: салтыковский (5) и сергиевский (железногорский) (6); 7 – разрывные нарушения; 8 – оси складчатых структур; 9 – линия разреза; 10 – рудовмещающая зона стратиформного типа; 11 – контур картыврезки.

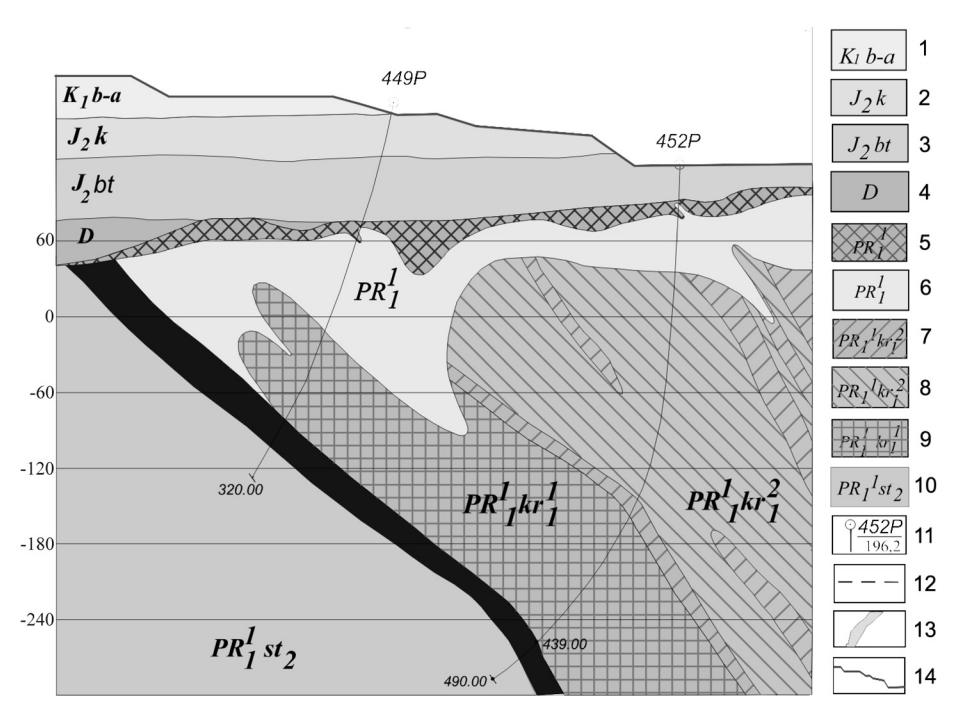


Рис. 6. Положение золото-платиноносной рудовмещающей зоны стратиформного типа в разрезе P-65 (западная часть) Михайловского месторождения.

1–10 – геолого-стратиграфические образования: 1 – нижнемеловые отложения; 2–3 – среднеюрские отложения, келловейский ярус (2), батский ярус (3); 4 – девонские отложения; нижний протерозой: 5 – богатые железные руды; 6 – окисленные железистые кварциты; 7–9 – нижняя железорудная подсвита коробковской свиты, вторая пачка: гематит-магнетитовые кварциты (7), магнетит-гематитовые кварциты (8); первая пачка, карбонатно-магнетитовые кварциты (9); 10 – верхнестойленская подсвита; 11 – скважины и их номера; 12 – дневная поверхность; 13 – рудовмещающая зона стратиформного типа золото-платинометалльного оруденения; 14 – контур карьера.

Стратиформный платиноидно-золоторудный старооскольский тип оруденения, имеющий широкое развитие в пределах раннепротерозойских железорудных месторождений [Чернышов, 2004, 2007], характеризуется приуроченностью к внутрирудным углеродсодержащим сульфидизированным сланцам коробковской свиты курской серии и повышенными содержаниями МПГ (до 3,5 г/т Pd, 0,8 г/т Pt), золота (до 3,29 г/т) и серебра (до 15,55 г/т). Проведенные оригинальные экспериментальные исследования позволили установить, что основное количество благородных металлов в руде находится в виде микро-и наночастиц, перевод которых в макрочастицы по специальной методике и последующем разделением на фракции позволяет значительно повысить концентрацию благородных металлов. Так, при содержании в исходной пробе золота до 3,29 г/т, в полученном концентрате тяжелой фракции (11 % объема пробы) количество Аи составило 30,17 г/т. При разделении тех же фракций на последующих стадиях по магнитной восприимчивости на магнитную (2,2 %) и электромагнитную (25,89 %) средневзвешенное содержание по всей пробе составило 82,26 г/т. По предварительным результатам исследований доказана возможность и перспективность использования этой технологии для промышленного извлечения МПГ. К стратиформному типу принадлежит новый крупнообъемный источник Au

и МПГ, располагающийся в зоне контакта верхнестойленской углеродсодержащей сланцевой свиты с перекрывающими ее безрудными и малорудными кварцитами коробковской железорудной свиты курской серии. Этот тип оруденения, наиболее полно проявившийся в Михайловском железорудном узле (рис. 5, 6), слагает значительные по протяженности (до 70 км) и мощности (до 90 м) рудоносные залежи с устойчиво высокими концентрациями Au (до 4,83 г/т), Pd (до 0,77 г/т), Pt (до 0,30 г/т), Ag (до 2,1 г/т) и наличием собственных минеральных фаз благородных металлов (Au, Pt, Os, Ir, Ru и др.).

Золото-платинометалльное оруденение тимского, старооскольского и кшенского типов характеризуются сложным многокомпонентным, полиминеральным составом, насчитывая свыше 60 рудных минералов, в том числе более 20 собственных минеральных фаз МПГ и Аи; (табл. 2) и многообразием форм распределения благородных металлов в виде [Рудшевский и др., 1995; Чернышов, 1996, 2004, 2007]: а) самородных элементов (золото, палладий, платина, осмий, серебро); б) металлических твердых растворов и интерметаллических соединений - палладий платиносодержащий, платина железосодержащая, золото-платина-палладий, осмистый иридий, рутениридосмин, платиридосмин, платосмиридий, золото ртуть-теллурсеребросодержащее, амальгама золота-серебра,

Таблица 2. Рудные минералы золото-платинометалльного оруденения тимского и кшенского типов

~				
	родные металлы			
Золото	Au			
Палладий	Pd			
Платина	Pt			
Осмий	Os			
Медь	Cu			
Серебро	Ag			
Металлические твердые растворы и интерметаллические соединения				
•	Рd _{0.94} Pt _{0.06}			
держащий	1 u _{0,94} 1 u _{0,06}			
Платина железосодержащая	$Pt_{0,96}Fe_{0,04}$			
Золото-платина-палладий	$Pd_{0,86}Pt_{0,08}Au_{0,04}Fe_{0,02} \\$			
Осмистый иридий (невьянскит?)	(Ir,Os)			
Платиридосмин	(Os, Ir, Pt)			
Рутениридосмин	(Os, Ir, Ru)			
Золото ртуть-теллур-	$Au_{0.53}Ag_{0.29}Te_{0.07}Hg_{0.02}$			
серебросодержащее	0,00 20,29 0,07 20,02			
Амальгама золота-	$Au_{6,95}Ag_{6,07}Hg_{3,14}$			
серебра	(A II DO)			
Аркверит	(Ag,Hg,Pt)			
Станнид палладия (не- названный минерал)	PdSn ₂			
Платина-палладий-	(Pt,Pd,Au,Ag,Sn,Zn)			
золото-серебро-олово				
	Сульфиды			
Пирит	FeS ₂			
Ni-Cu-пирит	(Fe,Cu,Ni)S ₂			
Ni-Co-пирит	(Fe,Ni,Co)S ₂			
Макинавит	$(Fe_{7,86}Ni_{0,89}Co_{0,04}Cu_{0,13}Zn_{0,02})_{8,94}S_{8,06})$			
Пирротин	Fe _{1-x} S			
Ni-пирротин	(Fe,Ni) _{1-x} S			
Пенталандит, в том	(Fe,Ni) ₉ S ₈			
числе Ag-Pt-Pd-	7 - 77-0			
содержащий				
Халькопирит	(CuFe)S ₂			
Марказит	FeS ₂			
Кубанит	CuFe ₂ S ₃			
Виоларит	FeNi ₂ S ₄			
Марганцовистый	$(Zn_{0,87}Mn_{0,13})S$			
сфалерит				
Селенистый галенит	$ (Pb_{0,99}Fe_{0,03})_{1,02}(S_{0,77}Se_{0,21})_{0,98} $			

15				
Молибденит, в том	MoS_2			
числе Re-Pd-Au- содержащий				
*	HgS			
Киноварь	_			
Дигенит	Cu _{2-x} S			
Сульфоарсениды, теллуриды, антимониды, селениды, сульфосоли				
Сперрилит	PtAs ₂			
Ирарсит	(Ir, Ru, Rh, Pt) AsS			
Арсенопирит	(Fe _{0.9} Ni _{0.1})AsS			
Алтаит	$(Pb_{0.95}Fe_{0.13})_{1.08}Te_{0.92}$			
Гессит				
Ульманит	$(Ag_{1,94}Cu_{0,04})_{1,98}Te_{1,02}$			
	$(Ni_{0,87}Co_{0,07}Fe_{0,07}Cu_{0,01})_{1,02}Sb_{1,01}S_{0,97}$			
Теллуровисмутит	$\begin{array}{l} (Bi_{1,69}Pb_{0,23}Fe_{0,11}Ag_{0,04})_{2,07} \\ (Te_{2,89}Sb_{0,02}Se_{0,01})_{2,92} \end{array}$			
Буланжерит	$(Pb_{4,64}Cu_{0,57}Fe_{0,28})_{5,44}(Sb_{3,92}Sn_{0,02})_{3,49}$			
	$(S_{10,4}Se_{0,10})_{10,59}$			
Клаусталит	$(Pb_{0,98}Cu_{0,02})_{1,0}(Se_{0,78}S_{0,27})_{1,0}$			
Цинкосодержащий станнин	$Cu_{1,95}(Fe_{0,97}Zn_{0,11})_{1,08}Sn_{1,02}S_{3,95}$			
Станнин	$Cu_{1.98}(Fe_{1.08}Ni_{0.01})_{1.09}Sn_{1.00}S_{3.94}$			
Селенид палладия и	$(Pd_{2,39}Pt_{0,53}Fe_{0,06})_{2,98}Se_{2,02}$			
платины (неназванный				
минерал)				
Тетраэдрит	$Cu_{12}Sb_4S_{13}$			
Теллуроантимонид	$(Pd_{0.88}Fe_{0.10}Ni_{0.08})_{1.06}$			
палладия (тестибио-	$(Te_{1,01}Sb_{0,89}Bi_{0,04})_{1,94}$			
палладинит (?))				
	аты, молибдаты, фосфаты и др.			
Ильменит	FeTiO ₃			
Магнетит	Fe_3O_4			
Куприт	Cu_2O			
Рутил	TiO ₂			
Касситерит(?)	SnO_2			
Шеелит	Ca(W,Mo)O ₄			
Перовскит	(Ca,Ba,Sr)TiO ₃			
Титанат бария	(Ba,Ca)(Ti,Zr)O ₄			
Титанат бария и висмута	$(Ba,Bi)_{1-x}(Ti,Nb)O_3$			
Бадделиит	(Zr,Hf,Sc)O ₂			
Циркон	$Zr[SO_4]$			
Барит	Ba[SO ₄]			
Монацит	(Ce,La,Nd,Th,Y,Gd,Sm)PO ₄			
Апатит	Ca ₅ [PO ₄] ₃ (F,Cl)			
1 11141 FI 1	Cu5[1 O4]3(1,C1)			

аркверит, станнид-палладия (неназванный минерал), платина-палладий-золото-серебро-олово; в) сульфоарсенидов, теллуридов, антимонидов, селенидов и сульфосолей МПГ, Au и Ag — сперрилит, ирарсит, гёссит, селенид палладия и платины (неназванный минерал), тестибиопалладинит, антимонид палладия и золота (неназванный минерал) и др.; г) примесей в основных платино-палладий-золотосодержащих рудообразующих сульфидах

(мас. %) — пирротине (Au — до 0,27, Pt — до 0,27 и Pd — до 0,13), пирите (Pt — до 0,18, Au — до 0,17, Pd — до 0,03), халькопирите (Pt — до 0,60, Au — до 0,16, Pd — до 0,08), сфалерите (Pd — до 0,06) и других спорадически развитых сульфидах, сульфоарсенидах, сульфоантимонидах и теллуридах — арсенопирите (Au — до 0,32, Pt — до 0,18), пентландите (Au — 0,13, Pt — до 0,07, Pd — до 0,04), галените (Pt — до 0,15, Au — до 0,10), молибдените (Pd — до 0,14, Au — до

0,07), теллуровисмутите (Pt – до 0,95, Au – до 0,35, Pd – до 0,08), ульманите (Pt – до 0,17, Au – до 0,11, Pd – до 0,08), алабандине (Pd – до 0,13, Pt – до 0,10, Au – до 0,10), герсдорфите (Pt – до 0,22, Au – до 0,31, Pd – до 0,02), кобальтине (Pd – до 0,03), которые в совокупности с нахождением благородных металлов в углеродистом веществе (в том числе в фуллеренах) определяют необходимость разработки принципиально новых экологически безопасных технологий извлечения всего комплекса металлов.

Комплекс структурно-вещественных признаков по закономерностям размещения, минеральному и химическому составу пород и руд, формам нахождения МПГ, Аи и их взаимосвязи с определенными фациальными типами углеродистых сланцев и вулканитов, соотношениям стабильных изотопов С, О, S и другим параметрам (в том числе числовым характеристикам по РТ-условиям образования силикатных и рудных минеральных парагенезисов [Чернышов, 1996, 2007]) свидетельствуют о формировании благороднометалльных рудообразующих систем тимского, старооскольского и кшенского типов в условиях сопряженной деятельности трех разнородных источников углеродистого и рудного вещества: а) экзогенного (осадочно-хемогенного) при значительной биологической активности палеобассейна; б) флюидно-магматогенного в связи с многоактным разноглубинным проявлением вулкано-интрузивного магматизма с нарастающей щелочностью и флюидонасыщенностью; в) метаморфогенного с экстракцией рудного вещества из субстрата и его мобилизацией в процессе функционирования глубинных флюидно-магматогенных очаговых зон и проявления регионального метаморфизма и гидротермально-метасоматических процессов. В совокупности эти источники определяют принадлежность золото-платинометального оруденения тимского, старооскольского и кшенского типов к полигенному и полихронному осадочному и осадочно-флюидно-магматогенному, позднее метаморфизованному. Широкое развитие черносланцевых стратифицированных комплексов и метасоматитов в других, сходных с Тим-Ястребовской, структурно-формационных зонах, а также в пределах Михайловского и Старооскольского железорудных районов КМА и ВКМ в целом, предопределяют возможность открытия новых крупных месторождений благородных металлов.

2. КРИТЕРИИ ПРОГНОЗИРОВАНИЯ КОМПЛЕКСНОГО ЗОЛОТО-ПЛАТИНОМЕТАЛЛЬНОГО ОРУДЕНЕНИЯ В УГЛЕРОДИСТЫХ ТОЛІЩАХ И МЕТАСОМАТИТАХ ДОКЕМБРИЙСКОГО ФУНДАМЕНТА ВКМ

На основе полученных результатов исследований ниже рассмотрены два уровня критериев

прогнозирования золото-платинометалльного оруденения в раннепротерозойских черносланцевых формациях - региональный (мелкомасштабный) и локальный (средне-крупномасштабный). Первый из них ориентирован на идентификацию и прогнозирование потенциально золото-платиноносных структур (бассейнов) углеродистого осадконакопления и присущих им углеродистых формаций. Комплекс локальных критериев прогнозирования направлен на выбор и оценку площадей развития благороднометалльносодержащих углеродистых формаций в геоблоках, характеризующихся различными геодинамическими режимами формирования СВК, с выделением в их пределах рудоперспективных районов и узлов (полей), при этом особое значение придается геоблоку КМА, в пределах которого выявлен ряд разномасштабных рудопроявлений благородных металлов.

2.1. Критерии регионального прогнозирования

Геотектоническая позиция рудоносных черносланцевых комплексов и особенности их состава. Как отмечалось, наиболее важные в промышленном отношении концентрации благородных металлов связаны с раннепротерозойскими высокоуглеродистыми образованиями. Степень их продуктивности и масштабы определяются приуроченностью к двум различным типам линейных структур (рудоносных черносланцевых поясов): а) внутриконтинентальным рифтам, которые пространственно обычно сопряжены с позднеархейскими коматиитсодержащими зеленокаменными поясами (мегаблок КМА Сарматии); б) пассивной окраине Волго-Уралии (Воронцовский эпикратонный прогиб Хоперского мегаблока). Эти крупные структуры регионального уровня отмечаются геодинамическими, палеогеографическими и палеоформационными обстановками. На конседиментационном этапе они являются областями аккумуляции металлов и углеродистых осадков, а в постсидиментационный период характеризуются многообразием процессов мобилизации, миграции и локализации рудообразующих элементов.

внутриконтинентальными рифтогенными процессами связано формирование ряда подвижных поясов (Михайловского, Белгородского, Тим-Ястребовского, Волотовского). Они характеризуются полицикличностью и многостадийностью развития с резким преобладанием терригенноосадочных (в том числе железорудных отложений курской серии) на ранних стадиях и локально возрастающей ролью вулканогенно-осадочных и вулканических образований (оскольская серия) – на поздних. Наибольшим развитием (около 50 % объема всех пород) вулканитов (пикрит-базальтовая, андезит-базальтовая, базальт-риолитовая циации и их интрузивно-дайковые комагматы)

Тим-Ястребовская, Волотовская, Зиновьевско-Мантуровская структуры Воронецко-Алексеевского рифта, пространственно сопряженного с раннеархейским Орловско-Тимским зеленокаменным поясом [Созинов и др., 1988; Чернышов, 2004], в которых сосредоточены основные запасы и ресурсы благородных металлов КМА (тимской, кшенский, старооскольский типы). В Белгородско-Михайловском рифте, в котором вулканиты распространены крайне ограничено (Михайловская структура) или вовсе отсутствуют (Белгородская структура) и основные концентрации Au и МПГ сосредоточены в железистых кварцитах (курский тип; [Чернышов, 2004]) и углеродсодержащих сланцевых толщах курской серии (старооскольский тип).

В Хоперском мегаблоке происходило накопление мощных (до 10-12 км) отложений в основном турбидитового типа в объеме воронцовской серии. Эта серия наиболее полно проявилась в Воронцовском эпикратонном прогибе (протяженность около 1000 км при ширине от 80 до 320 км) и представлена флишоидной углеродисто-терригенно-сланцевой формацией. Характерной особенностью Воронцовской, мало исследованной на благородные металлы, структуры является: а) широкое развитие углеродистых и графитизированных, обычно сульфидизированных сланцев и полифациальные метаморфические их преобразования; б) высокая степень насыщения более поздними по возрасту и разнообразными по составу и формационной принадлежности интрузивно-дайковыми комплексами, сопровождающимися рядом месторождений и многочисленными разномасштабными проявлениями сульфидных платиноидно-медно-никелевых руд и комплексной платиноидно-золоторудной и палладий-золото-ртутно-серебряной минерализацией (воронцовский и троицкий типы [Чернышова, Молотков, 2006]).

Геотектоническое строение рудоносных черносланцевых поясов. Геотектоническое строение рудоносных структур в пределах Воронцовского эпикратонного прогиба Хоперского мегаблока и рифтогенных по своей природе подвижных поясов КМА (Михайловский, Белгородский, Тим-Ястребовский, Волотовский, Рыльский и др.) обусловлено коллизионными процессами. Эти складчатые и складчато-глыбовые структуры включают не только сами разноранговые по масштабам складки, но и широко распространенные разрывы (надвиги, взбросы, взбросо-сдвиги, зоны интенсивного расслаивания), имеющие коллизионный генезис. Коллизия привела к интенсивной дислоцированности и своеобразному «скучиванию» углеродистых толщ в разрезах террейна. Складки близки к изоклинальным, сильно сжаты, субвертикальны или наклонены (до опрокинутых) по вектору сжатия в направлении с востока на запад вследствие надвига Хоперского мегаблока на Курский. Рудовмещающие участки сосредоточены в зонах интенсивных пликативных дислокаций, осложненных продольными интенсивно рассланцованными структурами позднескладчатого этапа.

Метаморфизм. Коллизионный этап сопровождается термодинамическими преобразованиями пород, которые характеризуются региональной метаморфической зональностью от амфиболитовой (обычно в центрах максимального стресса) до зеленосланцевой в удаленных от центра участках. Метаморфические процессы вызывают мобилизацию благородных металлов в зонах высоких температур и давлений и перераспределение и концентрирование их в участках низких температур и давлений высокоуглеродистой рудообразующей системы. Для концентрации оруденения наиболее благоприятна зеленосланцевая фация, включающая хлорит-серицитовую, хлорит-серицит-альбитовую, биотит-стильпномелановую и хлорит-биотитовую субфации (зоны).

2. Критерии локального прогнозирования

Комплекс критериев локального прогнозирования включает набор характерных признаков и факторов, отражающих процессы рудной мобилизации, миграции и локализации, и ориентирован на оценку площадей развития углеродистых стратифицированных образований и их метасоматитов на конкретные типы золото-платинометалльного оруденения прежде всего в пределах мегаблока КМА. В этом комплексе, в качестве определяющих, выступают особенности состава рудоносных и рудовмещающих формаций и их метаморфических преобразований, характер рудоконтролирующих структур, минералого-геохимические и рудно-геохимические параметры конкретного типа оруденения.

Как отмечалось, в пределах рифтогенных структур КМА выделено три полигенных и полихронных по своей природе типа золото-платиносодержащего оруденения — тимской, кшенский и старооскольский. Приводимый ниже комплекс локальных критериев основан на типовом наборе предпосылок, признаков и факторов процессов рудообразования для каждого из геолого-генетических типов и предназначен для идентификации объектов прогнозирования и оценки их перспектив.

Тимской тип

Прогноз этого золото-платинометалльного типа оруденения базируется на комплексе критериев, включая: а) формационную принадлежность рудовмещающей породной ассоциации, наиболее полно отражающей геодинамический режим многоэтапного (от седиментационного до постседиментационного) становления всей полихронной и полигенной по своей природе рудообразующей

системы; б) положение рудовмещающих пород в структуре и стратиграфическом разрезе; в) особенности их литологического состава и условия метаморфических и метасоматических преобразований; г) минералого-геохимические признаки золото-платинометалльного оруденения (формы нахождения благородных металлов, ведущие типы рудообразующих минеральных парагенезисов, ассоциация сопутствующих индикаторных элементов, изотопные соотношения S, C и др.).

Подобный системный анализ позволяет выделить следующий комплекс граничных признаков для локального прогнозирования золотоплатинометалльного оруденения тимского типа:

- 1. Строгая приуроченность к длительно развивающимся внутриконтинентальным, рифтогенным по своей природе, структурам (типа Тим-Ястребовской), значительный по мощности (свыше 2000 м) СВК которых (в объеме оскольской серии с возрастным рубежом формирования 2300—2100 млн. лет [Чернышов, 2004]) включает ряд в разной мере обогащенных углеродистым веществом осадочных и вулканогенно-осадочных горизонтов, а также вулканических и плутонических (интрузивно-дайковых) образований различного состава (от ультраосновного и основного субщелочного до среднего и кислого), возраста и формационной принадлежности.
- 2. Высокая степень интенсивности проявления в подобных рудоносных структурах складчатости и взбросо-надвиговых перемещений, сложный характер разломных нарушений различных порядков с образованием зон объемного катаклаза, выступающих в качестве контролирующих элементов рудообразующей системы тимского типа.
- 3. Локализация наиболее важных в промышленном отношении концентраций МПГ и Аи в нижнетимской углеродисто-терригенной подсвите тимской свиты, характеризующейся: а) ритмичным строением и исключительно широким участием в ее сложении (от 30-70 до 80 % в низах разреза) высокоуглеродистых (Сорг. > 10 %) сланцев, в различной степени (от 5-10 до 40 % и более) обогащенных сульфидами; б) отчетливой корреляцией количества сульфидов с содержанием углеродистого вещества; в) низкоградиентным типом метаморфизма в условиях эпидот-амфиболитовой и, в большей мере, зеленосланцевой фации, способствующих перераспределению и накоплению рудного вещества и широкому развитию разнообразных по составу метасоматитов.
- 4. Многоуровневый характер размещения благороднометалльного оруденения, которое локализуется в ряде (от трех до семи) неоднократно повторяющихся в разрезе разномасштабных (мощность от первых метров до 15–30 м) слоев и горизонтов по всей площади развития черносланцевых отложений нижнетимской подсвиты и отличается:

- а) отчетливой корреляционной связью МПГ и Au с серой, углеродом и рядом петрогенных (Al_2O_3 , K_2O и др.) и малых (Ni, Cu, Co, Pb, Zn, Ag, Cr, Ti, V, Se, As, Sb, Cd, Te, Bi, Ba, B) элементов; б) преимущественно базальтоидным типом распределения МПГ ($Pd \ge Pt > Rh > Ru > Ir \ge Os$); в) высокой степенью концентрирования благородных металлов в наиболее тонкозернистой (< 0,06 мм) сульфидноуглеродистой фракции, в которой их концентрации в 5–16 раз превышают содержания в исходных (рудовмещающих) породах.
- 5. Сложный многокомпонентный, полиминеральный состав руд, характеризующийся: а) ведущей (90-95 об. %) ролью в рудном парагенезисе сульфидов при крайне неравномерном их распределении и текстурно-структурной неоднородности (послойная мелкозернистая вкрапленность, прожилковые, пятнистые, линзовидные и гнездовые обособления); б) резким преобладанием среди сульфидов пирита и пирротина (до 80–95% объема рудного вещества), которые вследствие очевидной принадлежности к различным стадиям длительно формирующейся рудообразующей системы, характеризуются значительным кристалломорфологическим разнообразием и существенными вариациями содержаний главных (Fe, S) и сопутствующих (Ni, Co, Cu), а так же некоторых благородных элементов (Pt, Pd, Au), концентрация которых увеличивается по мере обогащения их легким изотопом серы; в) постоянным присутствием халькопирита, сфалерита, пентландита, марказита, арсенопирита, молибденита, ульманита, блеклой руды, виоларита, галенита, гетита, макинавита, буланжерита, клаусталита, теллуровисмутита, станнина, рутила, циркона, перовскита, монацита, шеелита, бадделиита, апатита, барита; г) многообразием форм распределения благородных металлов в виде самородных элементов (Au, Pd, Pt, Ag, Os), металлических твердых растворов и интерметаллических соединений (палладий платиносодержащий, платина железосодержащая, золото-платинапалладий, осмистый иридий, платиридосмин, рутениридосмин, ртуть-теллур-серебросодержащее золото, амальгама золота-серебра, аркверит, станнид палладия, платина-палладий-золото-сереброолово); сульфоарсенидов, теллуридов, антимонидов, селенидов и сульфосолей МПГ, Au и Ag (гёссит, спериллит, ирарсит, селенид палладия и платины, тестибиопалладинит, антимонид палладия, золота и др.), примесей в основных платино-палладийзолотосодержащих рудообразующих сульфидах (пирротине, пирите, халькопирите, сфалерите) и других спорадически развитых минералах (арсенопирите, пентландите, галените, молибдените, теллуровисмутите, ульманите, алабандине, герсдорфите, кобальтине), которые в совокупности с нахождением благородных металлов в углеродистом веществе определяют необходимость разработки принципиально новых экологически безопасных технологий

извлечения всего комплекса металлов. В качестве надежного минералогического признака при поисках благороднометалльного оруденения тимского типа выступает тесная ассоциация минералов платиновой группы с различными по составу титанатами Ва, Са, Sr, Nb, Zr и Bi.

Старооскольский тип

С тимским, стратиформным по своей природе, типом благороднометалльного оруденения, ассоциирующего с углеродистыми сланцами оскольской серии, значительную аналогию обнаруживает платиноидно-золоторудный старооскольский тип, входящий в состав залегающей ниже курской серии, вмещающей все известные месторождения КМА [Чернышов, 2004, 2007]. В этой серии, принадлежащей к железисто-кремнисто-сланцевой формации, благороднометалльное оруденение размещается на трех уровнях. Два из них приурочены к верхней и промежуточной (внутрирудной) углеродсодержащим сланцевым подсвитам коробковской продуктивной (железорудной) свиты. Третий уровень золото-платинометалльного оруденения располагается в зоне контакта углеродистых сланцев верхнестойленской свиты с перекрывающими ее безрудными и малорудными (железистыми) кварцитами коробковской свиты (рис. 3).

Анализ геолого-тектонического положения, структурно-вещественных, рудно-формационных, геохимических и геолого-генетических признаков позволяет выделить следующий комплекс граничных критериев локального прогноза старооскольского типа золото-платинометалльного оруденения:

- 1. Тесная пространственно-генетическая связь рудоносных сланцев с железистыми кварцитами курской серии в составе единой железисто-кремнисто-сланцевой формации.
- 2. Многоуровневый (стратифицированный) характер размещения оруденения, определяющий в совокупности с другими структурно-вещественными и геолого-генетическими признаками его принадлежность к стратиформному типу с концентрацией благородных металлов в наиболее обогащенных углеродистым веществом и сульфидами зонах, играющих роль своеобразных геохимических барьеров.
- 3. Специфический состав рудовмещающих сланцевых толщ, характеризующихся: а) повышенными содержаниями K_2O , S, Al_2O_3 , Copr (до 2%), величиной отношения FeO/Fe_2O_3 (2–4) и комплексом сопутствующих МПГ и Au индикаторных элементов (Cu, Ni, Co, Cr, Ti, V, Mn, Ba, B, F, P, Se, Bi, As и др.); б) развитием магнезиально-щелочного метасоматоза с образованием разнородных по составу зон и жил;.
- 4. Локализация благороднометалльносодержащей рудной минерализации в ядерных частях скла-

док и зонах интенсивных дислокаций, кливажа и объемного катаклаза складчато-блоковых структур с пространственно-временной сопряженностью зон сжатия и участков повышенного давления, разноранговых разломов, обеспечивающих поступление глубинных флюидов и растворов, привносящих Au и МПГ.

5. Подобный тимскому типу оруденения, многокомпонентный, полиминеральный состав рудной минерализации при ведущей роли сульфидов, наличие собственных минеральных фаз Au и МПГ в виде самородных соединений, интерметаллидов, сплавов и примесных форм в сульфидах и их аналогах.

От тимского старооскольский тип золотоплатинометалльного оруденения отличается: а) пониженным содержанием углеродистого вещества, ограниченным развитием карбонатов в сланцах, характеризующихся тонкозернистым (пелитовым) обликом, присутствием в их составе Mg-Fe слюд, щелочных пироксенов и амфиболов; б) неравномерным распределением сульфидов при широком развитии их в виде гнезд, линз, прожилков.

Кшенский тип

Комплекс типовых признаков для идентификации объектов прогнозирования и оценки перспектив кшенского типа благороднометалльного оруденения приведен в табл. 3. Обобщенные в этой таблице данные об условиях размещения и рудно-формационным параметрам показывают, что типовыми структурно-вещественными, рудногеохимическими и геолого-генетическими граничными признаками и критериями локального прогнозирования золото-платиносодержащего оруденения кшенского типа являются: а) отчетливая приуроченность рудопроявлений к субсогласным с общим планом рифтогенно-коллизионных структур КМА долгоживущим линейным зонам рассланцованных, катаклазированных, милонитизированных и в разной мере сульфидизированных, амфиболизированных, биотитизированных, турмалинизированных преимущественно основных и ультраосновных нормальной и повышенной щелочности вулканитов, их ортосланцев и углеродистых сланцев, метапесчаников; б) исключительно высокая степень насыщенности рудоносных зон дайками различного возраста, состава и формационно-генетической принадлежности; в) сложное сочетание реликтовых и многочисленных наложенных минеральных парагенезисов рудовмещающих пород, отражающих многоэтапность и полифациальность метаморфических и гидротермально-метасоматических процессов формирования рудообразующей системы; г) сложное строение рудных тел, их многоярусное размещение, отчётливо выраженные геохимические ореолы Аи и сопутствующих элементов; д) пространственно-генетическая связь золото-платиносодержащих руд с зонами повышенной сульфидной минерализации, определяющая принадлежность оруденения к сульфидновкрапленному типу с ведущей ролью пиритового, пирит-пирротинового и пирит-арсенопиритового минеральных парагенезисов при крайне ограниченном проявлении жильного сульфидно-кварцевого оруденения.

По минеральному составу (пирит, пирротин, графит, реже, халькопирит, миллерит, висмутин, молибденит, ульманит, арсенопирит, пентландит, магнетит, гематит, ильменит, галенит, сфалерит, самородное золото и серебро, осмистый иридий и др.), высоким содержаниям платиноидов и золота в сульфидах и распределению малых элементов (Ni, Co, Cr, P, Ті, As, Sb, Ві, Sn, Ва и др.) сульфидно-вкрапленная минерализация обнаруживает значительные черты сходства с золото-платинометалльными рудами в углеродистых сланцах тимской свиты, а также в железистых кварцитах и углеродистых сланцах курской серии, подчеркивая тем самым их принадлежность к единой длительно (2,5-2,0 млрд. лет) развивающейся (полихронной) рудообразующей системе, полигенной по природе продуцируемых источников рудного вещества и углерода, физикохимическим параметрам минералообразующей среды и условиям концентрирования рудообразующих элементов.

Определяющим фактором в размещении кшенского типа оруденения служит исключительно четкий структурный контроль, который проявляется в приуроченности их к зонам долгоживущих региональных разломов. В пределах таких структур рудные тела размещаются как в секущих, так и, чаще, в более протяженных субсогласных системах сбросов, зонах позднего рассланцевания, бластомилонитизации и локализуются в породах, обладающих благоприятным химическим составом, повышенной хрупкостью и проницаемостью, сопровождаясь обычно разномасштабными околорудными изменениями с образованием разнообразных по составу метасоматитов (кварц-полевошпатовые, альбиткварц-актинолитовые, карбонат-эпидот-кварцевые и др.) и многочисленных кварцевых, карбонаткварцевых, турмалин-кварцевых жил.

Технология прогнозирования и поисков золотоплатиносодержащих руд тимского, старооскольского и кшенского типов включает три этапа: а) прогноз рудоносных площадей; б) поисковые и в) поисково-оценочные работы, каждый из которых включает ряд стадий со специфическим набором геологоразведочных работ [Чернышов, 2007]. Завершающей стадией прогнозирования является разноранговая количественная оценка различных по геолого-формационной принадлежности ведущих промышленно-генетических типов золото-

Таблица 3. Геологические условия локализации и основные рудно-формационные параметры кшенского типа оруденения

Тектонические	Протерозойский внутриконтинентальный рифт. Протяженные складчато- сдвиговые пояса линейного типа, долгоживущие разломы, зоны трещинова- тости, субсогласные разрывы, взбросы, надвиги, сложноскладчатое крутое залегание вмещающих пород; зоны объемного катаклаза.
Магматические	Габбронориты, пироксениты, гранодиориты, граниты, дайки габбро, габбродиабазов, диоритов, диоритовых порфиров, гранит-порфиров, риолитов, граносиенит-порфиров, риодацитов, лампрофиров.
Вмещающие породы	Метаэффузивы основного, ультраосновного состава, риолиты, дациты и их туфы, прослои малорудных железистых кварцитов, черных сланцев, метапесчаников.
Метаморфизм и гидротермально- метасоматические преобразования	Зеленосланцевая и эпидот-амфиболитовая фации. Лиственитизация, березитизация, окварцевание, турмалинизация.
Морфология рудных тел, их пара- метры	Минерализованные зоны дробления, милонитизации, приразломного мета- соматоза протяженностью до 30 км. Мощность лентообразных прерывистых крутопадающих (60–75°) рудных тел 0,5–6,1 м.
Формационная группа	Зоны сульфидной вкрапленности, редко кварцево-жильный тип.
Минеральные типы	Пиритовый, пирит-пирротиновый, пирит-арсенопиритовый.
Минеральная ассоциация руд и околорудных пород	Пирит, пирротин, арсенопирит, халькопирит, золото, серебро, сфалерит, висмутин, галенит, ульманит и др. Жильные: карбонаты, биотит, кварц, сфен, турмалин, полевые шпаты, рутил, биотит.
Содержание МПГ (мг/т) и Au (г/т), пробность Au, формы выделения	Аи от 3,2 до 20,6 г/т, среднее содержание по Кшенскому рудопроявлению — 4,84 г/т. Пробность 850—980; отдельные зерна и включения в пирите; содержание МПГ от 100 до 1800 мг/т.
Генетические типы	Оруденение принадлежит к «бескварцевому» сульфидно-вкрапленному подтипу гидротермального типа.

платинометалльного оруденения в пределах перспективных районов.

ВЫВОДЫ

- 1. В Центральной России, в пределах ВКМ, золото-платинометалльное оруденение в стратифицированных углеродистых образованиях выявлено в составе всех структурно-вещественных комплексов раннего докембрия, сформировавшихся в условиях: а) раннеархейской нуклеократонизации (обоянский тип); б) позднеархейского рифтогенеза и коллизии (авильский тип); в) раннепротерозойского рифтогенеза, спрединга, субдукции и коллизии (старооскольский, тимской, кшенский, воронцовский, троицкий типы); г) тафрогенеза (воронежский тип). Наиболее высокие концентрации благородных металлов связаны с высокоуглеродистыми терригенно-осадочными и вулканогенноосадочными породными ассоциациями оскольской и курской серий КМА.
- 2. Наиболее важное в промышленном отношении золото-платинометалльное оруденение тимского, кшенского и старооскольского типов, связанное с высокоуглеродистыми терригенно-осадочными и вулканогенно-осадочными породными ассоциациями и их метасоматитами курской и оскольской сериями КМА, образуют единую, длительно формирующуюся черносланцевую рудную формацию. Приведены закономерности размещения оруденения, характеризующегося сложным многокомпонентным, полиминеральным (более 60 рудных минералов, в том числе свыше 20 собственных минеральных фаз МПГ и Аu) составом.
- 3. Выделены граничные признаки и критерии прогнозирования разнотипного (тимской, кшенский, старооскольский) золото-платинометалльного оруденения двух уровней: а) региональный и б) локальный. Для каждого геолого-генетического типа приведены основные рудно-формационные параметры (геолого-тектонические, структурновещественные, метаморфические игидротермальнометасоматические, рудолокализующие, рудноминералого-геохимические и др.), определяющие выбор и оценку площадей развития углеродосодержащих толщ и их метасоматитов на конкретные типы золото-платинометалльного оруденения.

Работа выполнена при финансовой поддержке РФФИ (проект № 08-05-00158) и Гранта Президента Российской Федерации «Ведущие научные школы» (НШ-2211.2008.5).

СПИСОК ЛИТЕРАТУРЫ

Буряк В.А., Михайлов Б.К., Цымбалюк Н.В. Генезис, закономерности размещения и перспективы золото- и платиноносности черносланцевых толщ // Руды и металлы. 2002. № 6. С. 25–36.

- Додин Д.А., Золоев К.К., Коротеев В.А., Чернышов Н.М. Углеродсодержащие формации новый крупный источник платиновых металлов XXI века. М.: «Геоинформмарк», 2007. 130 с.
- Додин Д.А., Чернышов Н.М., Яцкевич Б.А. Платинометалльные месторождения России СПб.: Наука, 2000. 755 с.
- Золоев К.К., Волченко Ю.А., Коротеев В.А. и др. Платинометалльное оруденение в геологических комплексах Урала. Екатеринбург: ИГГ УрО РАН, 2001. 199 с.
- Рудашевский Н.С., Кнауф В.В., Чернышов Н.М. Минералы платиновой группы из черных сланцев КМА // Докл. РАН. 1995. Т. 334. № 1. С. 91–95.
- Савицкий А.В., Титов В.К., Афанасьева Е.Н. и др. Платиноносность докембрийских черносланцевых толщ Карелии // Платина России. Проблемы развития минерально-сырьевой базы платиновых металлов. М.: «Геоинформмарк», 1994. С. 55–65.
- Созинов Н.А., Чистякова Н.Н., Казанцев В.А. Металлоносные черные сланцы Курской магнитной аномалии. М.: Наука, 1988. 149 с.
- Чернышов Н.М. Новый тип золото-платинометалльного оруденения в стратифицированных черносланцевых комплексах ВКМ (закономерности размещения, минералого-геохимические особенности и геолого-генетическая модель формирования) // Вестник Воронежского госуниверситета. Сер. геологическая. 1996. № 1. С. 114–132.
- Чернышов Н.М. Золото-платинометалльное оруденение в докембрийских черносланцевых толщах и метасоматитах Воронежского кристаллического массива основа создания Центрально-Российской минерально-сырьевой базы благородных металлов XXI века // Платина России. Проблемы развития минерально-сырьевой базы платиновых металлов в XXI веке. М.: «Геоинформмарк», 1999. Т. III. Кн. 2. С. 226—241.
- Чернышов Н.М. Платиноносные формации Курско-Воронежского региона (Центральная Россия). Воронеж: Воронежский госуниверситет, 2004. 448 с.
- Чернышов Н.М. Золото-платинометалльное оруденение черносланцевого типа Курско-Воронежского региона (Центральная Россия). Воронеж: Воронежский госуниверситет, 2007. 177 с.
- Чернышова М.Н., Молотков С.П. Критерии прогнозирования и оценки сульфидного платиноидномедно-никелевого оруденения на основе модели эволюции интрузивно-дайковой системы мамонского типа // Вестник Воронежского госуниверситета. Сер. геологическая. 2006. № 1. С. 85–100.

Рецензент кандидат геол.-мин. наук В.П. Молошаг

LOCALISATION REGULARITIES, COMPOSITION AND FORECASTING AND EXPLORATION CRITERIA OF BLACK-SHALE GOLD-PLATINUM ORES IN VORONEZH CRYSTAL MASSIF

N.M. Chernyshov, M.N. Chernyshova

Voronezh State University

Systematization and structural-material characteristics of noble metal mineralization, associated with different-age carbonaceous series and metasomatites of Voronezh crystalline massif are presented. The boundary features and regional and local forecasting criteria for of the most important for the economy Tim, Kshen and Stary Oskol types, are distinguished. These types are characterized by multilevel location, complex multicomponent, polymineral composition of ores (over 60 ore minerals, including more than 20 own mineral phases of platinum-group elements and Au). Tectonic, structural-material, metamorphic and hydrothermal-metasomatic, ore-localizing, ore-mineralogical-geochemical, and other basic ore-formation parameters which determine the choice and assessment of the areas for concrete types of gold and platinum-group metals mineralization are given.

Key words: Voronezh Crystal Massif, gold-platinum ores, black shale type, systematization, location regularities, mineralogy, forecasting criteria.